

調査件名 SYSTEM21 最高級プロフェッショナル土質調査解析ソフト  
長年の実績で信頼と安定したソフトを実現

試験年月日 2020年 4月 21日

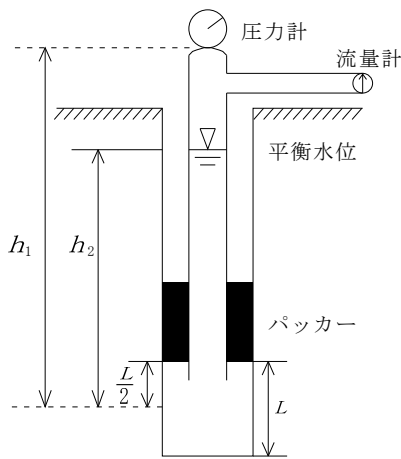
地点番号(地盤高) No.752 (T.P.+7.50m)

試験者 田中 誠二

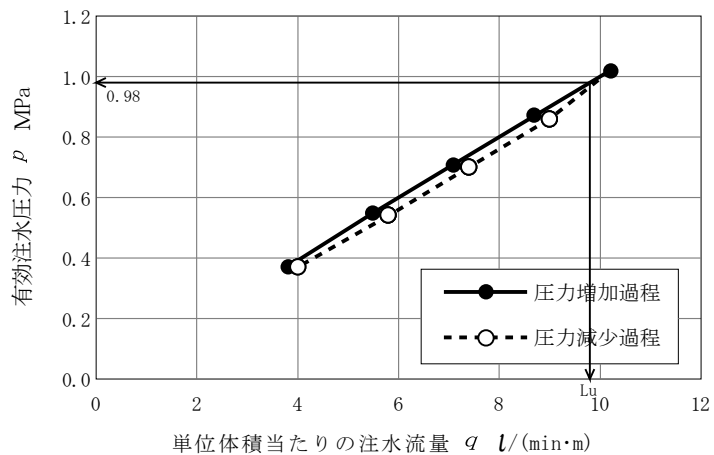
|      |                         |      |                  |                          |        |
|------|-------------------------|------|------------------|--------------------------|--------|
| 試験条件 | 試験区間の深さ                 | GL m | -95.00 ~ -100.00 | 天 候                      | 晴れ     |
|      | 試験区間の長さ                 | L m  | 5.00             | 試験孔の孔径                   | mm     |
|      | 試験区間の地質状況               |      | 花崗岩 新鮮部          |                          |        |
|      | 圧力計深さ                   | GL m | +5.00            | 試験区間中央深さ                 | GL m   |
|      | 孔内水位                    | GL m | -10.00           |                          | -15.00 |
|      | 圧力計と試験区間中央の高さの差 $h_1$ m |      | 102.50           | 平衡水位と試験区間中央の高さの差 $h_2$ m | 82.50  |

試 験 記 録

| 注水圧力<br>MPa | 平衡水位と<br>圧力計の<br>高さの差<br>MPa | 注水管の<br>損失水頭<br>MPa | 有効注水<br>圧 力<br>MPa | 注 水 流 量<br>l/min |      |      |      |      | 測 定<br>注 水 流 量<br>l/min | 単 位 長 さい<br>注 水 流 量<br>l/(min·m) |
|-------------|------------------------------|---------------------|--------------------|------------------|------|------|------|------|-------------------------|----------------------------------|
|             |                              |                     |                    | 1                | 2    | 3    | 4    | 5    |                         |                                  |
| $p_0$       | $\gamma_w(h_1-h_2)$          | $\gamma_w h_3$      | $p$                |                  |      |      |      |      | $Q_0$                   | $q$                              |
| 0.20        | 0.20                         | 0.03                | 0.37               | 19.0             | 19.0 | 19.0 | 18.5 | 18.5 | 18.8                    | 3.8                              |
| 0.40        | 0.20                         | 0.05                | 0.55               | 27.5             | 27.5 | 27.0 | 27.5 | 27.4 | 27.4                    | 5.5                              |
| 0.60        | 0.20                         | 0.09                | 0.71               | 35.5             | 36.0 | 35.5 | 35.5 | 35.5 | 35.6                    | 7.1                              |
| 0.80        | 0.20                         | 0.13                | 0.87               | 43.0             | 43.5 | 43.5 | 43.5 | 43.4 | 43.4                    | 8.7                              |
| 1.00        | 0.20                         | 0.18                | 1.02               | 51.0             | 51.0 | 51.0 | 50.5 | 51.0 | 50.9                    | 10.2                             |
| 0.80        | 0.20                         | 0.14                | 0.86               | 45.5             | 45.0 | 45.5 | 45.0 | 45.0 | 45.2                    | 9.0                              |
| 0.60        | 0.20                         | 0.10                | 0.70               | 37.0             | 37.0 | 37.0 | 37.0 | 37.0 | 37.0                    | 7.4                              |
| 0.40        | 0.20                         | 0.06                | 0.54               | 28.5             | 29.0 | 29.0 | 29.0 | 29.0 | 28.9                    | 5.8                              |
| 0.20        | 0.20                         | 0.03                | 0.37               | 19.5             | 20.0 | 20.0 | 20.5 | 20.0 | 20.0                    | 4.0                              |



試験装置の構造



|      |  |      |
|------|--|------|
| 試験結果 | 最大注水圧力 MPa   | 1.00 |
|      | ルジオン値 $L_u$ ・ <del>換算ルジオン値 <math>L'_u</math></del> | 9.8  |
|      | 限界圧力 $p_{CR}$ MPa                                  | -    |

特記事項

スイスの地質学者ルジオンの硬岩ダム基盤の透水性を簡易的に把握する試験  
ダム基礎岩盤の透水性把握やグラウチング計画の立案目的  
主としてダム基礎の岩盤を目的とする